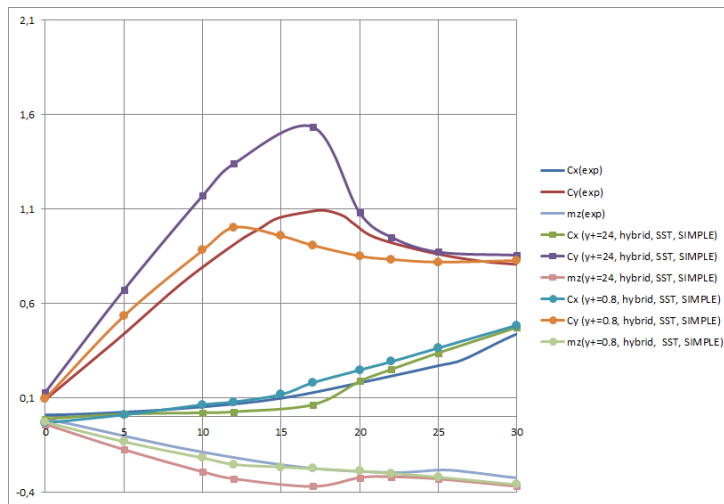
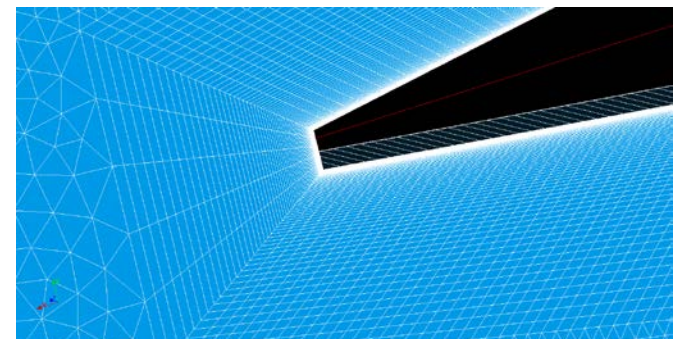
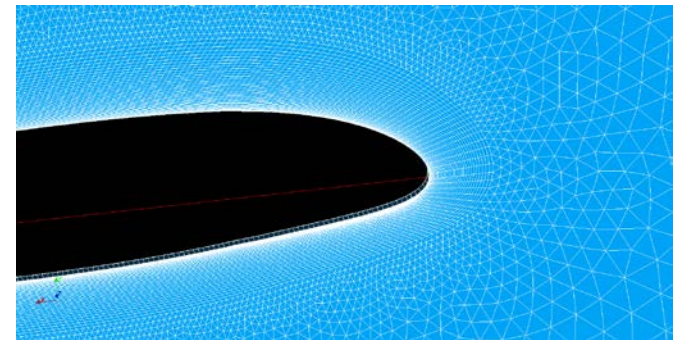
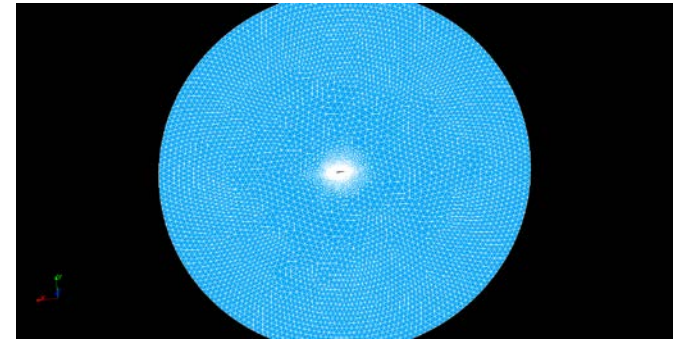
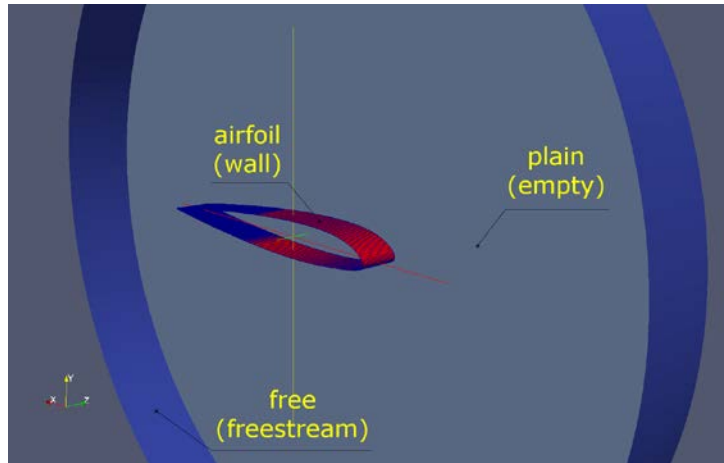




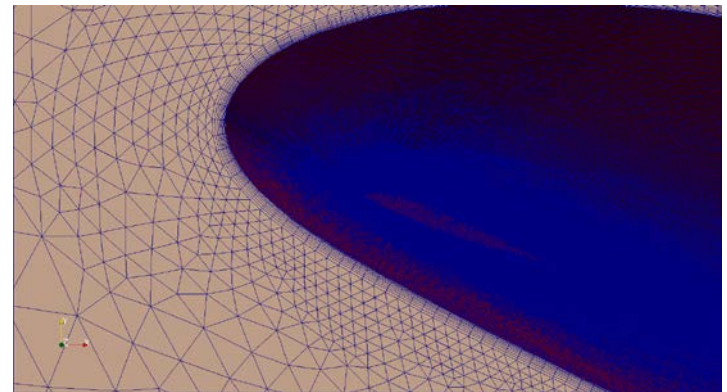
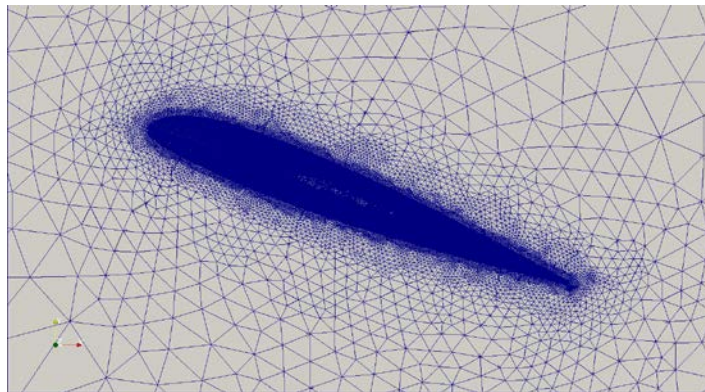
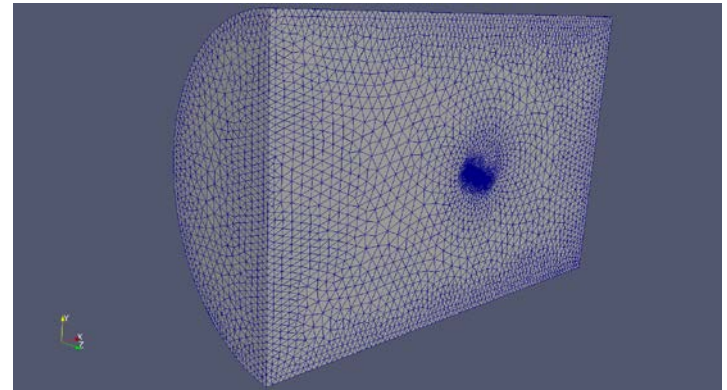
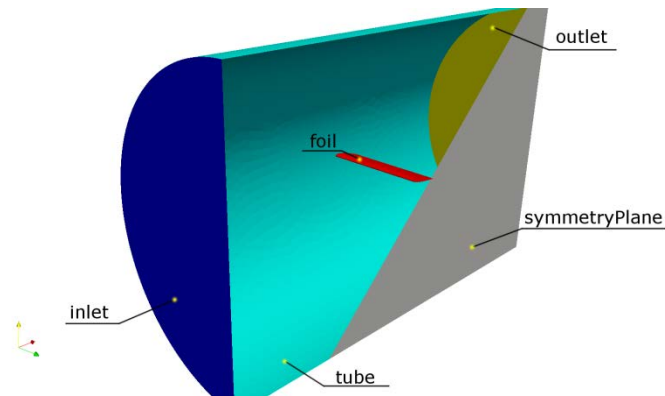
Численное моделирование обтекания профиля конечного удлинения в трубе

6 декабря 2013 г.



«Плоский» профиль

Радченко, П.И., Круговая обдувка профиля NASA 23012 в аэродинамической трубе Т-103Н ЦАГИ: Технические отчеты ЦАГИ, выпуск 161. - М.: ЦАГИ, 1959. - 24 с.



```
ddtSchemes{
    default          steadyState;}

gradSchemes{
    default          Gauss linear;}

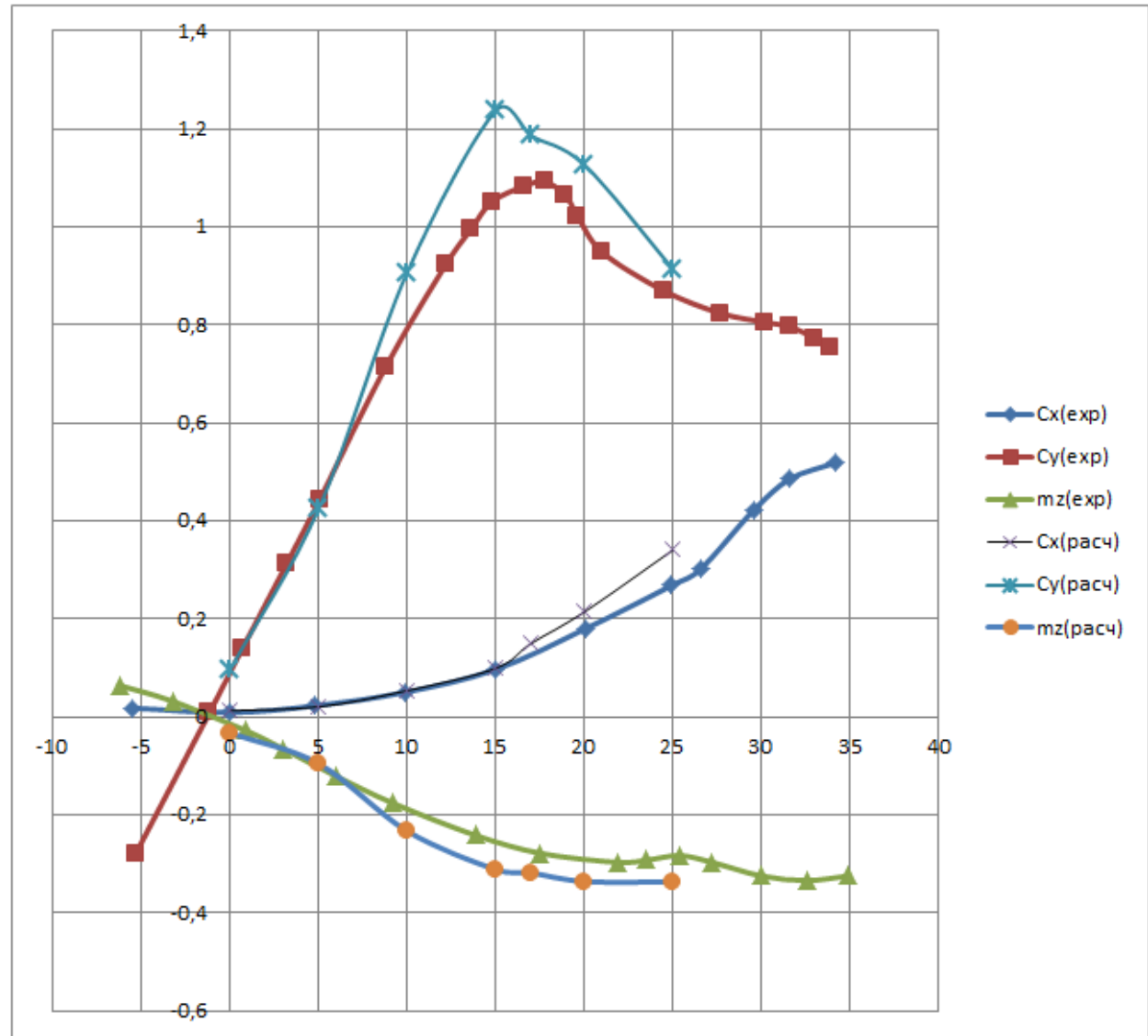
divSchemes{
    default          linear;
    div(phi,U)      Gauss linearUpwindV grad(U);
    div(phi,k)      Gauss upwind
    div(phi,omega)  Gauss upwind;
    div((nuEff*dev(T(grad(U)))))) Gauss linear;}

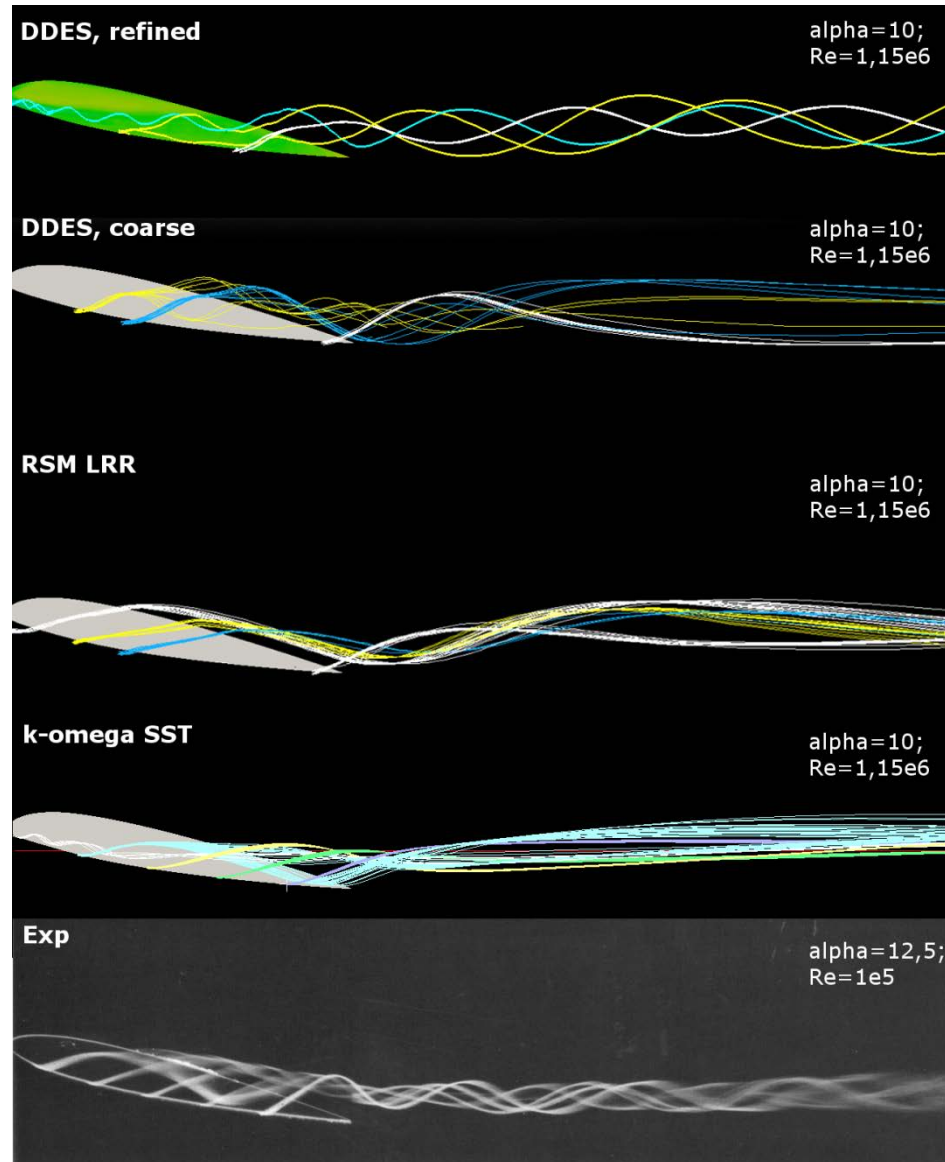
laplacianSchemes{
    default          Gauss linear corrected;}

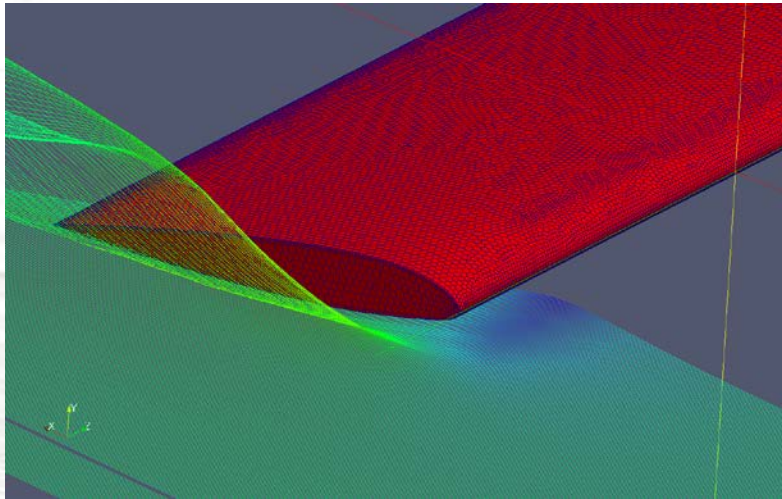
interpolationSchemes{
    default          linear;}

snGradSchemes{
    default          corrected;}

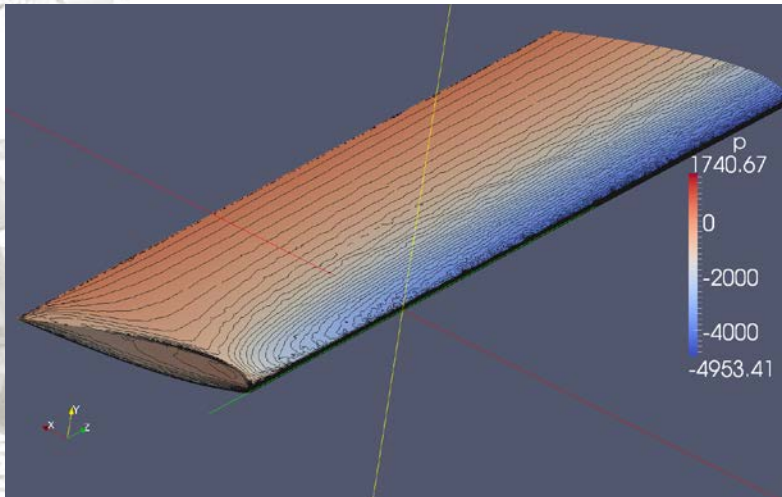
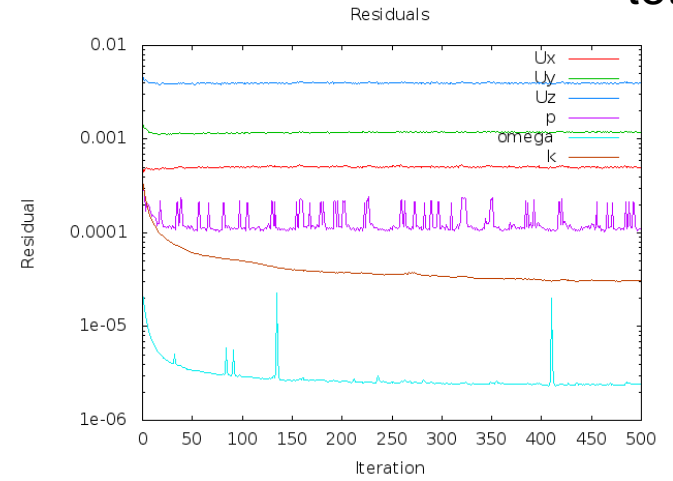
fluxRequired{
    default          no;
    p;}
}
```







tetra



poly

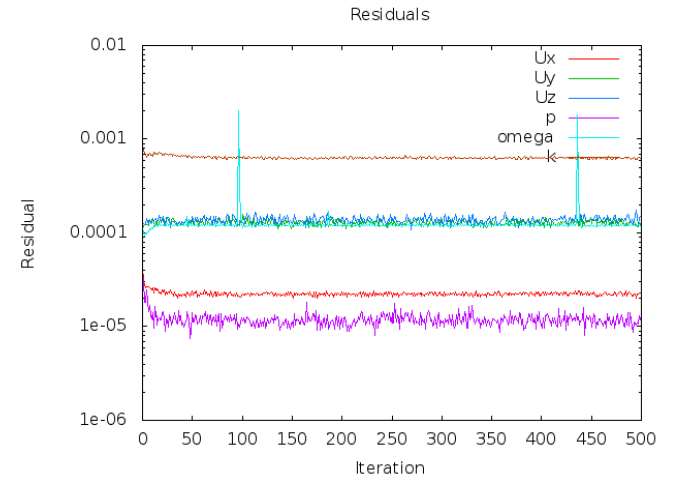


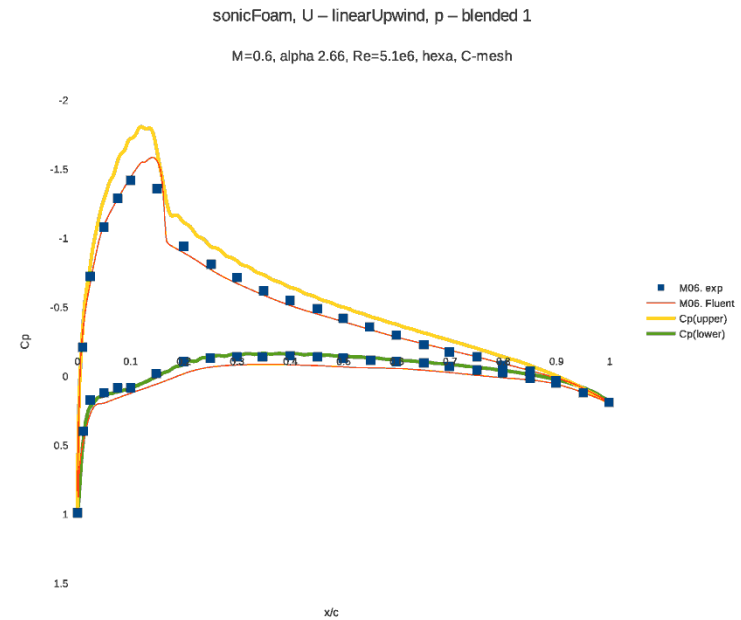
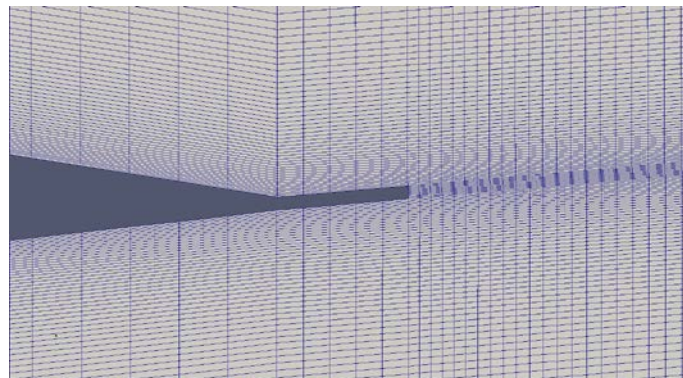
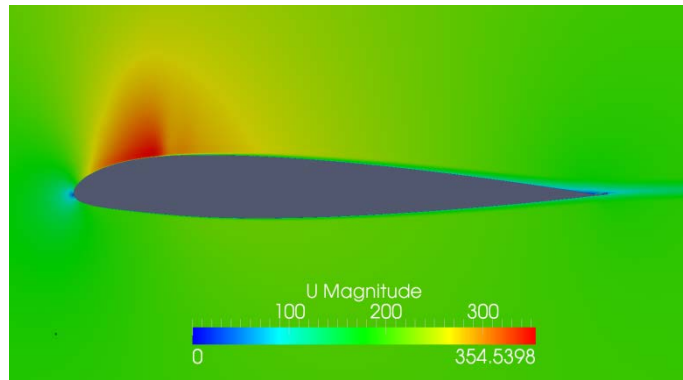
Таблица 2: Сравнение различных типов сеток

Параметр	tetra-mesh (Delaunay)	polyMesh
points	124033	809272
faces	1258997	1064492
internal faces	1176239	1015598
cells	608809	189844

 Таблица 3: Результаты расчёта для различных типов сеток, $\alpha = 10^\circ$

Параметр	tetra+prism	polyMesh
y_{max}^+	0.48621	89.9366
C_x	0,05401	0,05497
C_y	0,90672	0,90115
$\Delta C_{x, \text{экср}}, \%$	+6,1	+7,9
$\Delta C_{y, \text{экср}}, \%$	+13,3	+12,6







СПАСИБО ЗА ВНИМАНИЕ!



ФИО докладчика

Тел. : +7 (495) 649 6373 доб. XXXX

Моб.: +7

[@rus-helicopters.com](mailto:rus-helicopters.com)

**НАУЧНО-ИССЛЕДОВАТЕЛЬСКИЙ ЦЕНТР
ОАО «ВЕРТОЛЁТЫ РОССИИ»**